

가스법에 의한 염기성 탄산마그네슘 제조에 관한 연구

3. 수산화 마그네슘 혼탁액에 의한 탄산가스의 흡수

李文得* · 李正子*

Preparation of Basic Magnesium Carbonate by Gas Method

3. Absorption of CO₂ in Magnesium Hydroxide Suspension

*Moon Deuk Lee, *Jung Ja Lee

Dept. of Applied Chemistry, College of Engineering, Seoul National University

Abstract

Solutions of magnesium bicarbonate have been prepared by leaching magnesium hydroxide and carbonate trihydrate and calcined dolomite suspensions with carbon dioxide at about one atmosphere.

The metastable solutions of magnesium bicarbonate can not be formed from the carbonate but can be only from the existence of the hydroxide suspensions. At the experiment, to form metastable solution is needed the [OH⁻] is 0.1 Mol/liter at flow rate of CO₂ about 33 ml/min. and 20—50°C.

Absorption mechanism in this system may be represented by the following; the hydroxide ion reacts with dissolved carbon dioxide to give bicarbonate ion. Then metastable solution breaks down by the precipitation of pillar crystalline magnesium carbonate trihydrate by the reaction between bicarbonate and hydroxyl ions at the solid-liquid interface.

As the absorption proceeds, the carbonate is converted to bicarbonate.

서 론

Mg(OH)₂ 혼탁액에 CO₂를 작용시켜 Mg(HCO₃)₂ 용액이 생성되는 반응은 액—고상에 의한 기체의 흡수 반응으로서 액—고상 및 기—액상 사이의 확산과 화학 반응에 의해서 크게 영향을 받는 불균일반응이다. 그러므로 물질이 고체로부터 액체로의 이동 및 기체로부터 액체로의 이동을 고려해야 한다.

Haslam, Davis 씨 등은 ¹⁻³⁾ 주로 물리적인 흡수에 대하여 연구하였고, Yada 씨는 ⁴⁾ KOH에 의한 CO₂의 흡수를 연구하였다. Y. Horiguchi, T. Atoda 씨는 ⁵⁻¹⁰⁾ 마그네슘 혼탁액에 의한 CO₂ 흡수의 정성적인 면

은 연구 하였으나 그 흡수기구에 대해서는 논하지 않았다.

저자는 이 점에 특히 유의하여 Mg(OH)₂ 혼탁액을 충분히 교반하므로서 확산에 의한 반응을 무시하고 화학반응에 의한 CO₂ 흡수만을 생각하여 상암에서 Mg(OH)₂ 혼탁액의 농도, 반응온도, CO₂ 유속을 변화시켜 고체 및 용액중의 Mg과 CO₂를 정량하였고, 또한 시간에 따른 혼탁액의 pH를 측정하여 흡수기구를 추구하였다.

실험

I. Mg(OH)₂ 혼탁액의 조제

MgCl₂·2H₂O(G. R.) 용액에 NaOH 용액을 가하여 실온에서 침전시켜 경사법으로 세척하고 E. D. T. A.로

*서울工大 應用化學科

Mg을 정량하여 일정농도로 조제하였다.

2. $\text{MgCO}_3 \cdot 3\text{H}_2\text{O}$ 의 결정 및 혼탁액의 조제

0.1 Mol/liter의 $\text{Mg}(\text{HCO}_3)_2$ 용액을 상온에서 방치하여 석출된 주상결정(pillar-crystal)¹¹⁾을 검증하고 실온에서 자연건조한 다음 CO_2 량, 강열감량 및 Mg을 정량하여 $\text{MgCO}_3 \cdot 3\text{H}_2\text{O}$ 임을 확인한 후 100mesh 이하의 균일한 입자를 사용하여 일정농도의 혼탁액을 조제하였다.

3. 돌라임젖의 조제

3~4cm³의 크기인 백운석(MgO ; 23.77%, CaO ; 27.75%, Ig Loss; 47.16%, SiO_2 ; 0.36%, R_2O_3 ; 0.27%, H_2O ; 0.02%)을 전기로에서 950~1100°C로 6시간 소성하여 5mesh 이하의 균일한 입자로 만든 후 20°C, 40°C, 80°C에서 수화하여 혼탁액을 만들어 E. D. T. A.로서 Mg 및 Ca을 정량하여 일정농도로 하였다.

4. CO_2 가스

CO_2 는 실린다(99%)에 든 것을 유속조절기를 거쳐 일정한 유속으로 반응조내 하부로부터 주입하였다.

5. 실험 장치

반응조는 Fig. 1과 같이 Acryl로 된 약 1.5l의 용량을 갖는 실린다형으로 Fig. 2와 같은 교반기를 설치하였고

CO_2 주입관 및 시료 채취구, 온도계를 설치하고 반응온도를 일정히 하기 위하여 $\pm 0.01^\circ\text{C}$ 의 정밀도를 갖는 항온조(Mitamura Riken Kogyo Inc. Type 13—85 A)내에 설치하였다.

6. 실험 방법

1) 매 실험마다 반응조에 일정농도의 시료액을 넣고 500r. p. m.의 속도로 반응액을 교반하여 일정온도에 도달하면 일정유속의 CO_2 를 주입시켜, 일정시간마다 반응액을 취하여 여과한 후, 용액중의 Mg함량을 Eriochrome Black T(B. T.)를 지시약으로 사용하여 1/100M E. D. T. A.로서 정량하였다.

2) 0.1 Mol/liter의 $\text{Mg}(\text{OH})_2$ 및 $\text{MgCO}_3 \cdot 3\text{H}_2\text{O}$ 혼탁액에 대해서는 반응온도, $20 \pm 0.01^\circ\text{C}$, CO_2 유속 33ml/min.로 반응시켜 일정시간마다 반응액 50ml을 취하여 혼탁액의 pH를 측정하고 여과하여 용액(여액과 세액을 합하여) 및 고체에 대하여 각각 Mg(E. D. T. A.) 및 CO_2 (중량법)¹²⁾를 정량하였다.

3) 돌라임젖($[\text{Ca}^{+}] = 0.051 \text{ Mol/liter}$, $[\text{Mg}^{+}] = 0.056 \text{ Mol/liter}$)을 $20 \pm 0.01^\circ\text{C}$, CO_2 유속 33ml/min.로 반응시켜 일정시간마다 반응액 10ml을 취하여 여과한 후 용액중의 Mg 및 Ca을 Eriochrome Black T(B. T.) 및 Dotite N. N. (N. N.)을 지시약으로 하여 1/100M

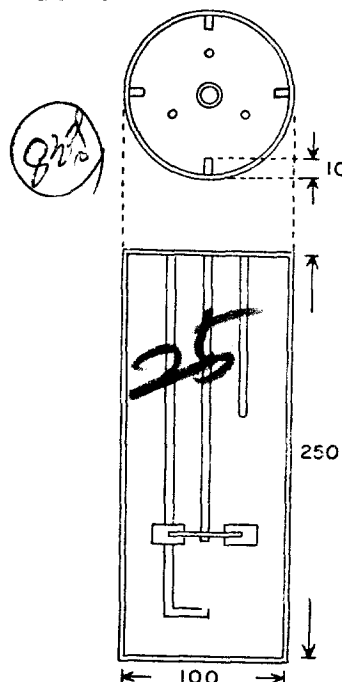


Fig. 1 Cross-Section of Absorption Apparatus

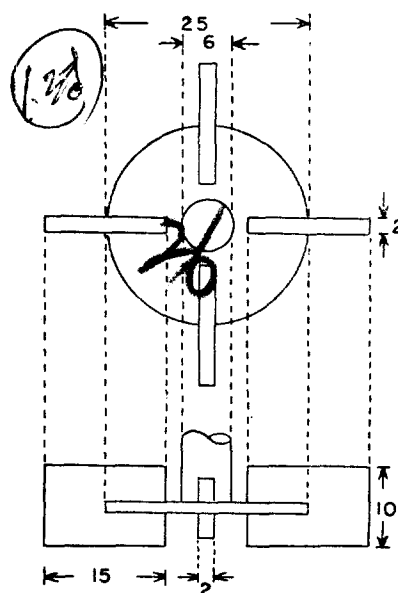


Fig. 2 Cross-Section of
Shaking Paddle

E. D. T. A.로 정량하였다.

실험결과 및 고찰

1. 혼탁액의 농도변화에 따른 CO_2 의 흡수

Fig. 3a는 반응온도 $20 \pm 0.01^\circ\text{C}$, CO_2 유속 33ml/min.로 조절하고 $\text{Mg}(\text{OH})_2$ 혼탁액의 농도를 0.025~0.150 Mol/liter로 변경시켜 탄산화하여 용액중의 Mg 함량을 시간에 대해서 표시한 것이다. Fig. 3a에서 보는 바와 같이 0.05Mol/liter 이하의 농도에서는 CO_2 가 흡수됨에 따라 혼탁액은 용해가 증가되어 평형상태에 도달되지만 0.1 Mol/liter 이상의 농도에서는 초기의 일정시간까지는 용해가 증가되어 $[\text{Mg}^{++}]_{\text{max}}$.에 도달되

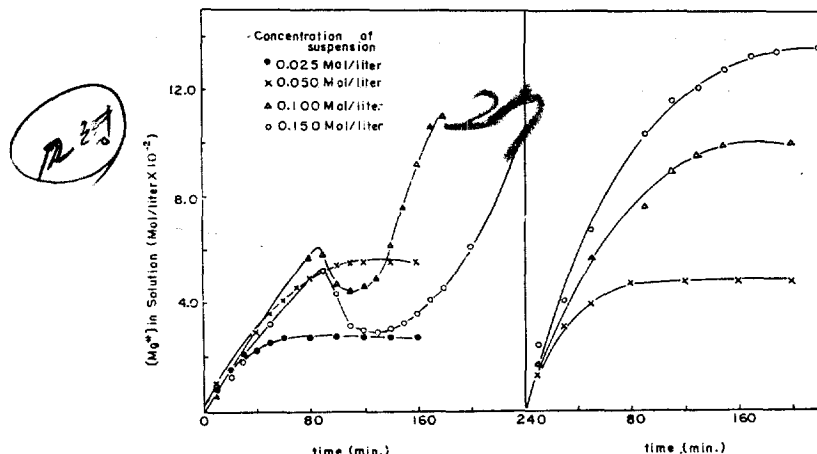


Fig. 3a Carbonation of $\text{Mg}(\text{OH})_2$ with increasing its quantity

었다가 이후로는 용액중의 $[\text{Mg}^{++}]$ 가 감소하여 $[\text{Mg}^{++}]_{\text{min.}}$ 을 거쳐 평형상태에 도달하게 된다. Y. Horiguchi, T. Atoda 씨는⁵⁾ 이러한 $[\text{Mg}^{++}]_{\text{max.}}$ 의 상태를 "Super Saturated Metastable Solution of Magnesium Bicarbonate"라 하였고, R. L. Evans, H. W. st. Clair 씨는¹³⁾ "Metastable Solution of Magnesia Bicarbonate"라 하였다. 또한 $[\text{Mg}^{++}]_{\text{max.}}$ 상태에서 $[\text{Mg}^{++}]_{\text{min.}}$ 으로 되는 것은 용액중에서 $\text{MgCO}_3 \cdot 3\text{H}_2\text{O}$ 가 석출하므로 오는 현상이라 하였다. 이러한 현상을 고찰하기 위하여 $\text{MgCO}_3 \cdot 3\text{H}_2\text{O}$ 혼탁액에 대해서 $\text{Mg}(\text{OH})_2$ 혼탁액과 같은 방법으로 탄산화하여 시간에 따른 용액중의 Mg 함량을 표시한 것이 Fig. 3b이다.

Fig. 3b에서 보는 바와 같이 $\text{MgCO}_3 \cdot 3\text{H}_2\text{O}$ 의 탄산화는 $[\text{Mg}^{++}]_{\text{max.}}$ 이나 $[\text{Mg}^{++}]_{\text{min.}}$ 상태가 나타나지 않고 시간에 따라 Mg의 용해는 계속 증가되어 평형상태에 도달하게 된다.

이러한 현상은 혼탁액중의 $\text{Mg}(\text{OH})_2$ 의 농도, 즉 OH^- 이 존재하는 경우에만 Metastable Solution인 $[\text{Mg}^{++}]_{\text{max.}}$ 상태가 형성되며, $[\text{OH}^-]$ 에 따라서 CO_2 흡수기구에 어떠한 영향을 미치므로서 오는 현상이라 본다.

2. CO_2 유속변화에 따른 CO_2 의 흡수

Fig. 4a는 반응온도 $20 \pm 0.01^\circ\text{C}$ 에서 0.1 Mol/liter의 $\text{Mg}(\text{OH})_2$ 혼탁액을 CO_2 유속을 22, 33, 44 ml/min.로 변경시켜 용액중의 Mg 함량을 시간에 대해서 표시한 것이고 Fig. 4b는 0.1 Mol/liter의 $\text{MgCO}_3 \cdot 3\text{H}_2\text{O}$ 혼탁액에 대해서 나타낸 것이다.

Fig. 4a에서 보는 바와 같이 반응 초기에 있어서는

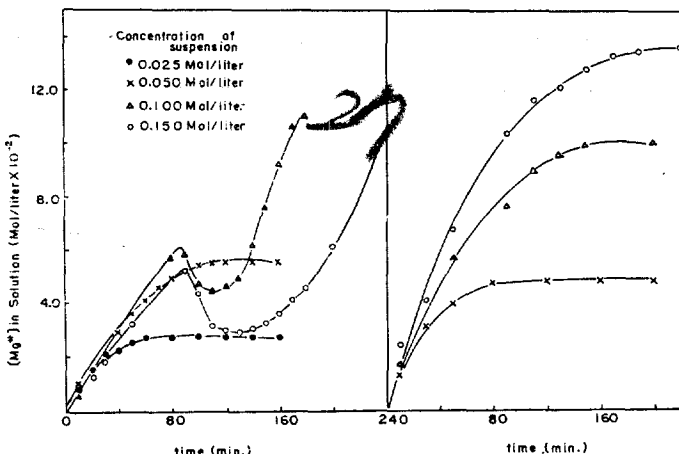
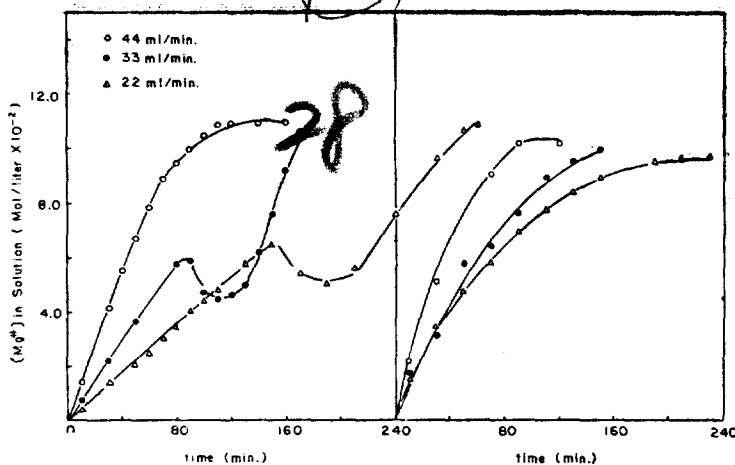
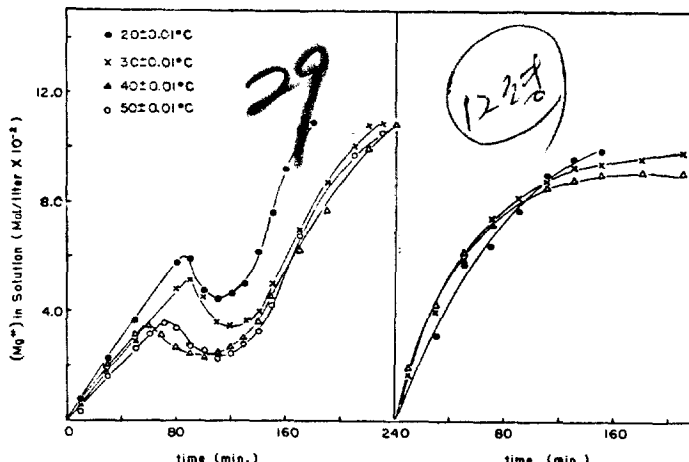


Fig. 3b Carbonation of $\text{MgCO}_3 \cdot 3\text{H}_2\text{O}$ with increasing its quantity

시간에 따라 $\text{Mg}(\text{OH})_2$ 의 용해는 적선적으로 증가되어, CO_2 유속 44 ml/min.에서는 별 변화없이 계속 증가하여 평형상태에 도달되지만 33 ml/min. 이하에서는 농도변화와 같이 $[\text{Mg}^{++}]_{\text{max.}}$ 및 $[\text{Mg}^{++}]_{\text{min.}}$ 현상이 나타나게 된다. 그러나 Fig. 4b에서는 CO_2 유속변화에 관계없이 용해가 증가된다. 즉 Metastable Solution의 형성은 $[\text{OH}^-]$ 에 대한 $[\text{CO}_2]$ 에 따라서 또는 고체로부터 액체로의 물질이동과 기체로부터 액체로의 물질이동의 차에 따라서 그 흡수기구가 변화한다는 것을 알 수 있다.

3. 반응온도 변화에 따른 CO_2 의 흡수

Fig. 5a는 0.1 Mol/liter의 $\text{Mg}(\text{OH})_2$ 혼탁액을 CO_2 유속 33 ml/min.로 일정히 하고 반응온도를 $20 \sim 50^\circ\text{C} \pm 0.01^\circ\text{C}$ 로 변화시켜 용액중의 Mg 함량을 시간에 대해서 표시한 것이다 Fig. 5b는 0.1 Mol/liter의 $\text{MgCO}_3 \cdot 3\text{H}_2\text{O}$

Fig. 4a Carbonation of $\text{Mg}(\text{OH})_2$ at various CO_2 flow rateFig. 4b Carbonation of $\text{MgCO}_3 \cdot 3\text{H}_2\text{O}$ at various CO_2 flow rateFig. 5a Carbonation of $\text{Mg}(\text{OH})_2$ at various TemperaturesFig. 5b Carbonation of $\text{MgCO}_3 \cdot 3\text{H}_2\text{O}$ at various Temperatures

$\cdot 3\text{H}_2\text{O}$ 혼탁액에 대해서 표시한 것이다.

Fig. 5a에서 보는 바와 같이 온도변화는 흡수기구에 거의 영향을 미치지 않고 다만 온도가 높아지면 흡수속도가 느려져서 종말점에 도달되는 시간이 약간 지연된다. $\text{MgCO}_3 \cdot 3\text{H}_2\text{O}$ 에서는 실험온도 범위에서는 온도의 영향을 받지 않고 곧 Bicarbonate 용액을 형성하게 된다.

4. CO_2 흡수에 의한 혼탁액의 조성변화 및 pH.

혼탁액중의 고체성분의 조성으로서는 미 용해된 $\text{Mg}(\text{OH})_2$ 와 용액중에서 석출되는 $\text{MgCO}_3 \cdot 3\text{H}_2\text{O}$ 이고, 용액성분의 조성으로서는 $\text{Mg}(\text{HCO}_3)_2$ 및 $\text{MgHCO}_3 \cdot \text{OH}$ (용액을 전부 $\text{Mg}(\text{HCO}_3)_2$ 라 보고, 측정된 Mg 및 CO_2 량을 비교하면 CO_2 량이 부족하여 $\text{Mg}(\text{HCO}_3)_2$ 이외에

다른 물질이 존재한다는 것을 알 수 있다. 이 제 2 물질로서 $\text{MgHCO}_3 \cdot \text{OH}^{(1)}$ 또는 $\text{MgHCO}_3^{(14)}$ 의 분자식을 갖는 Metastable 한 Complex 형태의 물질을 가정하였다) 이다. 이러한 가정하에서, 측정된 Mg 및 CO_2 로부터 혼탁액중의 조성의 농도를 다음과 같이 계산하였다.

혼탁액중의 고체 및 용액중의 $[\text{Mg total}]$ 와 $[\text{CO}_2 \text{ total}]$ 와의 비를 각각 X_1, X_2 라 놓으면 순수한 $\text{Mg}(\text{OH})_2$, $\text{MgHCO}_3 \cdot \text{OH}$, $\text{MgCO}_3 \cdot 3\text{H}_2\text{O}$, $\text{Mg}(\text{HCO}_3)_2$ 의 $[\text{CO total}] / [\text{Mg total}] = X$ 의 값은 각각 0, 1, 1, 2, 가 된다. 지금 $[\text{Mg total}] \text{ solid} = A_1$, $[\text{Mg total}] \text{ soln}' = A_2$ 라 하면 X_1, X_2 의 정의에 의하여

$$[\text{CO}_2 \text{ total}] \text{ solid} = A_1 X_1, [\text{CO}_2 \text{ total}] \text{ soln}' = A_2 X_2 \text{ 가}$$

Table 1. Variation of Chemical Composition in $Mg(OH)_2$ Suspension during the Carbonation.

Time (min.)	Obs. $[Mg^{++}]$ $10^{-2} \text{ Mol} \cdot \text{liter}^{-1}$		Obs. $[CO_2]$ $10^{-2} \text{ Mol} \cdot \text{liter}^{-1}$		Calc. $[Mg^{++}]$ $[10^{-2} \text{ Mol} \cdot \text{liter}^{-1}]$			Obs. total $10^{-2} \text{ Mol} \cdot \text{liter}^{-1}$		$[CO_2 \text{ t.}]$ $[\text{Mg}^{++} \text{ t.}]$
	in Solid	in Soln'	in Solid	in Soln'	$Mg(OH)_2$	$MgCO_3 \cdot 3H_2O$	$Mg(HCO_3)_2$	$MgHCO_3 \cdot OH$	$[CO_2]$	
3	8.39	2.26	0.27	2.86	8.12	0.27	0.60	1.66	3.13	10.65
50	6.34	4.52	0.30	5.31	6.04	0.30	0.79	3.73	5.61	10.86
80	4.01	6.83	0.57	9.06	3.44	0.57	2.23	4.60	9.63	10.84
100	5.72	5.12	4.36	8.15	1.36	4.36	3.03	2.09	12.51	10.84
110	5.43	5.40	4.74	9.21	0.69	4.74	3.81	1.59	13.95	10.83
120	4.61	6.25	4.07	11.60	0.54	4.07	5.35	0.90	15.67	10.86
140	1.51	9.25	1.45	17.32	0.06	1.45	8.07	1.18	18.77	10.76
160	0.00	10.75	0.00	22.52	0.00	0.00	10.75	(1.02)	22.52	10.75
										2.095

Table 2. Variation of Chemical Composition in $MgCO_3 \cdot 3H_2O$ Suspension during the Carbonation.

Time (min.)	Obs. $[Mg^{++}]$ $[10^{-2} \text{ Mol} \cdot \text{liter}^{-1}]$		Obs. $[CO_2]$ $[10^{-2} \text{ Mol} \cdot \text{liter}^{-1}]$		Calc. $[Mg^{++}]$ $[10^{-2} \text{ Mol} \cdot \text{liter}^{-1}]$			Obs. total $[10^{-2} \text{ Mol} \cdot \text{liter}^{-1}]$		$[CO_2 \text{ t.}]$ $[\text{Mg}^{++} \text{ t.}]$
	in Solid	in Soln'	in Solid	in Soln'	$MgCO_3 \cdot 3H_2O$	$Mg(HCO_3)_2$	$MgHCO_3 \cdot OH$	$[CO_2]$	$[Mg^{++}]$	
0	8.758	1.110	8.758	1.882	8.758	0.272	0.838	10.140	98.968	1.027
30	6.003	3.665	3.003	6.964	6.003	3.099	0.766	12.967	9.868	1.314
50	3.639	6.229	3.639	11.600	3.639	5.371	0.858	15.239	9.868	1.534
80	0.904	8.964	0.904	17.344	0.904	8.380	0.584	18.248	9.868	1.849
100	0.352	9.516	0.352	19.182	0.352	9.516	(0.150)	19.534	9.868	1.960
120	0.102	9.766	0.102	19.582	0.102	9.766	(0.050)	19.684	9.868	1.995
150	0.082	9.786	0.082	19.600	0.082	9.786	(0.028)	19.682	9.868	1.995

()내는 CO_2

된다.

$Mg(OH)_2 - MgCO_3 \cdot 3H_2O$ 혼합물(고체)에서
 $[Mg(OH)_2] = x$, $[MgCO_3 \cdot 3H_2O] = y$ 라 하면
 $x = A_1(1 - X_1)$, $y = A_1X_1$ (1)

단 ; $0 < X_1 < 1$

$MgHCO_3 \cdot OH - Mg(HCO_3)_2$ 혼합물(용액)에서
 $[MgHCO_3 \cdot OH] = z$, $[Mg(HCO_3)_2] = w$ 라 하면
 $z = A_2(2 - X_2)$, $w = A_2(X_2 - 1)$ (2)

단 ; $1 < X_2 < 2$

$MgCO_3 \cdot 3H_2O$ 혼탁액의 CO_2 흡수에 대해서는 고체의 조성으로서는 $MgCO_3 \cdot 3H_2O$ 뿐이고 용액의 조성으로서는 $Mg(HCO_3)_2$ 및 가수분해 생성물인 $MgHCO_3 \cdot OH$ 이다. 그러므로 $[MgCO_3 \cdot 3H_2O] = [Mg^{++}]_{\text{Solid}} = [CO_2]_{\text{Solid}}$ 이고, 용액중의 각각의 조성은 식 (2)와 같이 계산된다. 이상과 같은 방법으로 계산하여 0.1 Mol/liter 의 $Mg(OH)_2$, $MgCO_3 \cdot 3H_2O$ 혼탁액을 반응온도 $20 \pm 0.01^\circ C$, CO_2 유속 33ml/min.로 반응시켜 CO_2 흡수에 따른 조성변화를 표시한 것이 Table 1 및 Table 2이다.

식 (1)로부터 $x + y = A_1$, 식 (2)로부터 $z + w = A_2$, 즉 식 (1) (2)로부터 계산된 조성의 농도는 혼탁액중의

$[Mg^{+}]_{\text{total}}$ 를 기준으로 한 것이다. Table 1 및 Table 2에서의 조성의 농도를 $[CO_2]$ 로 환산하면 측정된 $[CO_2]$ total)와 잘 일치한다. 그러므로 상기의 가정은 실험적 사실을 잘 나타낸 것이다.

Fig. 6a 및 6b는 Table 1 및 Table 2의 결과를 $[CO_2 \text{ total}] / [Mg \text{ total}] = X$ 에 대한 각각의 조성을 $[Mg^{+}]$ 로서 나타낸 것이다.

Fig. 6a에서는 $Mg(OH)_2$ 혼탁액은 CO_2 가 흡수됨에 따라서 $Mg(OH)_2$ 는 계속 용해되어 감소되고, 반응전반에는 $MgHCO_3 \cdot OH$ 인 Metastable 상태가 생성되어 이것이 일정농도에 도달되면 감소되면서 이때부터 용액중에서 $MgCO_3 \cdot 3H_2O$ 의 주상결정이 석출된다. 그리고 Fig. 3a, 4a, 5a에서 $[Mg^{+}]_{\text{min.}}$ 에 해당되는 점에서 $MgCO_3 \cdot 3H_2O$ 의 농도가 극대가 된다. 여기서부터 $MgCO_3 \cdot 3H_2O$ 의 용해가 다시 시작되어 $X=2$ 가 되면 $Mg(OH)_2$ 는 완전히 용해되어 $Mg(HCO_3)_2$ 용액이 된다.

$MgCO_3 \cdot 3H_2O$ 혼탁액에 대해서는 CO_2 흡수에 따라 곧 $Mg(HCO_3)_2$ 용액으로 됨을 Fig. 6b에서 알 수 있다.

Fig. 7a 및 7b는 0.1 Mol/liter의 $Mg(OH)_2$ 및 $MgCO_3 \cdot 3H_2O$ 혼탁액의 X에 대한 pH를 나타낸 것이다.

Fig. 7a에서 보는 바와같이 $0 < X < 1$ 의 일점 b에

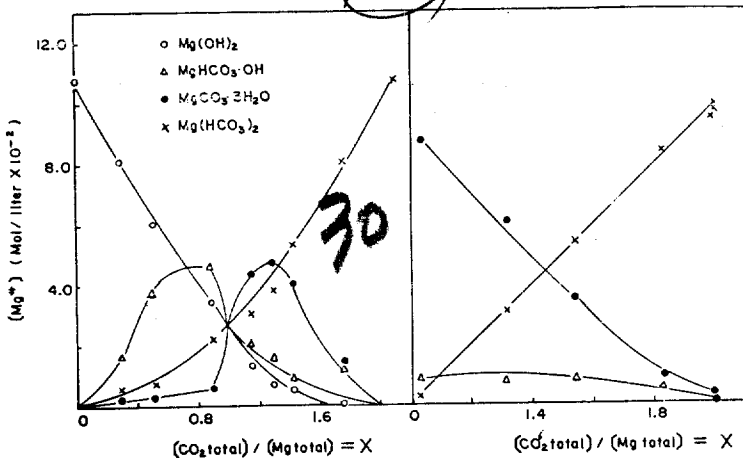


Fig. 6a Concentration diagram for a $\text{Mg}(\text{OH})_2$ suspension during the Carbonation

Fig. 6b Concentration diagram for a $\text{MgCO}_3 \cdot 3\text{H}_2\text{O}$ suspension during the Carbonation

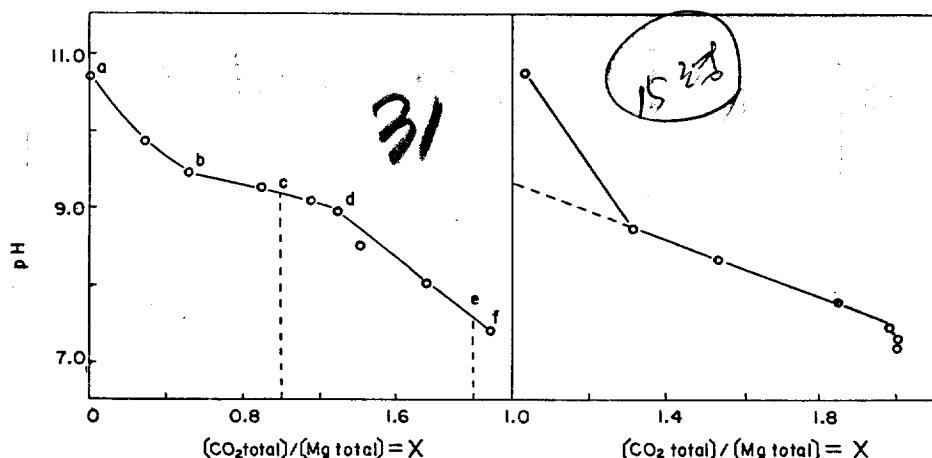


Fig. 7a pH vs. X in $\text{Mg}(\text{OH})_2$ suspension during the Carbonation

Fig. 7b pH vs. X in $\text{MgCO}_3 \cdot 3\text{H}_2\text{O}$ suspension during the Carbonation

서 pH 변화의 교차점이 있으며 점 b는 Fig. 3a, 4a, 5a에서 $[\text{Mg}^{++}]_{\text{max}}$ 이 되는 점 및 Fig. 6a에서 $\text{MgHCO}_3 \cdot \text{OH}$ 가 극대가 되는 점과 대체로 일치된다. 그리고 $1 < X < 2$ 인 점, d에서 다시 pH 변화의 교차점이 있는데 점 d는 Fig. 3a, 4a, 5a에서 $[\text{Mg}^{++}]_{\text{min}}$ 및 Fig. 6a에서 $\text{MgCO}_3 \cdot 3\text{H}_2\text{O}$ 의 극대점과 잘 일치된다. 또한 $X=1$ 인 점, C는 반응의 중간점으로서 전체 반응의 변곡점에 해당되며 Fig. 6a에서 $[\text{Mg}(\text{OH})_2] = [\text{MgHCO}_3 \cdot \text{OH}] = [\text{MgCO}_3 \cdot 3\text{H}_2\text{O}] = [\text{Mg}(\text{HCO}_3)_2]$ 가 되는 점이다.

그러나 이러한 현상은 Fig. 7b에서는 볼 수 없는데 $\text{MgCO}_3 \cdot 3\text{H}_2\text{O}$ 는 Fig. 3b, 4b, 5b에서 $[\text{Mg}^{++}]_{\text{max}}$ 및 $[\text{Mg}^{++}]_{\text{min}}$ 상태가 없는 것과 같이 단순하게 CO_2

가 흡수됨에 따라 곧 $\text{Mg}(\text{HCO}_3)_2$ 로 된다는 것을 알 수 있으며, Fig. 7a의 d~e 반응과 잘 일치한다. 다만 Fig. 7b의 최초에 있어서 pH 값이 크게 나타난 것은 $\text{MgCO}_3 \cdot 3\text{H}_2\text{O}$ 가 혼탁액 중에서 가수분해 되므로서 높은 pH 값을 나타낸 것이다.

5. $\text{Mg}(\text{OH})_2$ 혼탁액에 의한 탄산화 반응 기구

흡수시간에 따른 $(\text{CO}_2 \text{ total}) / (\text{Mg total}) = X$, 측정된 (CO_2) , (Mg) 및 혼탁액 중의 조성 변화와 pH 값으로부터 $\text{Mg}(\text{OH})_2$ 혼탁액에 의한 탄산화 기구를 검토하면

(I) $X=0$

이때의 $[\text{H}^+]$ 는 $\text{Mg}(\text{OH})_2$ 의 용해도에 의존하며 다음과 같이 표시된다.

$$[\text{H}^+] = \frac{\text{Kw}}{\sqrt{2 \cdot \text{Ksp}}} \quad (\text{I})$$

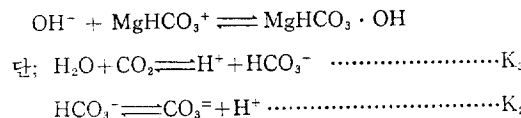
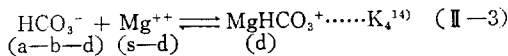
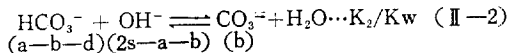
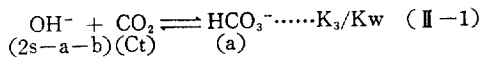
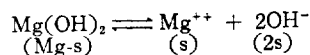
단 ; $\text{Ksp} \cdot \text{Mg(OH)}_2$ at $18^\circ\text{C} = 1.2 \times 10^{-11}$ ¹¹⁾

$$\text{Kw} = [\text{H}^+] [\text{OH}^-] = 1.0 \times 10^{-14}$$

(II) $0 < X < 1$

Fig. 6a에서 대표적인 조성은 미 반응의 Mg(OH)_2 와 생성되는 $\text{MgHCO}_3 \cdot \text{OH}$ 이고 $\text{Mg(HCO}_3)_2$ 는 무시 한다. 이런 상태에서 $[\text{H}^+]$ 는

equilibria ;



mass balance ;

$$S = [\text{Mg}^{++}] \text{ in Solution} \quad (\text{II-4})$$

$$[\text{CO}_2 \text{ total}] = [\text{HCO}_3^-] + [\text{CO}_3^{=2-}] + [\text{MgHCO}_3^+] \\ = \text{Ct} = \text{a} = [\text{HCO}_3^-] \quad (\text{II-5})$$

$$[\text{Mg}^{++}] + [\text{MgHCO}_3^+] = [\text{OH}^-] + [\text{CO}_3^{=2-}] + [\text{HCO}_3^-]$$

$$\therefore S = b + d = [\text{CO}_3^{=2-}] + [\text{MgHCO}_3^+] \quad (\text{II-6})$$

식 (II-2)로 부터

$$[\text{CO}_3^{=2-}] = \text{K}_2/\text{Kw} [\text{OH}^-] [\text{HCO}_3^-] \quad (\text{II-2}')$$

식 (II-3)으로 부터

$$[\text{MgHCO}_3^+] = \text{K}_4 [\text{Mg}^{++}] [\text{HCO}_3^-] \quad (\text{II-3}')$$

식 (II-2'), (II-3')을 식 (II-6)에 대입하여 풀면

$$[\text{OH}^-] = \frac{\text{Kw}}{\text{K}_2} \left(\frac{[\text{Mg}^{++}]}{[\text{HCO}_3^-]} - \text{K}_4 [\text{Mg}^{++}] \right) \quad (\text{II-7})$$

식 (II-4), (II-5)을 식 (II-7)에 대입하여 풀면

$$[\text{OH}^-] = \frac{\text{Kw}}{\text{K}_2} \left(\frac{S}{\text{Ct}} - \text{K}_4 S \right)$$

$$\therefore [\text{H}^+] = \frac{\text{K}_2}{(S/\text{Ct} - \text{K}_4 S)} \dots \text{(II)}$$

(III) $X=1$

Fig. 6a에서 $X=1$ 인 점은 Mg(OH)_2 의 용해, Metastable Solution의 평형이 깨어지면서 $\text{MgHCO}_3 \cdot \text{OH}$ 의 감소, $\text{MgCO}_3 \cdot 3\text{H}_2\text{O}$ 의 생성 및 $\text{Mg(HCO}_3)_2$ 가 생성되는 점으로서 $[\text{Mg(OH)}_2] = [\text{MgHCO}_3 \cdot \text{OH}] = [\text{MgCO}_3 \cdot 3\text{H}_2\text{O}] = [\text{Mg(HCO}_3)_2]$ 인 점이다.

(IV) $1 < X < 2$

이 부분은 Fig. 7a에서 이점을 중심으로 2 단계 반응이다. c~d는

식 (II-2)에 의해서 생성된 $\text{CO}_3^{=2-}$ 이

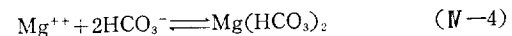
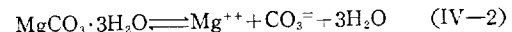


또는 식 (II-3)에 의해서 생성된 MgHCO_3^+ 이



(IV-1')

즉 식 (IV-1) 및 (IV-1')에 의해서 $\text{MgCO}_3 \cdot 3\text{H}_2\text{O}$ 가 완성되는 점이고, d~e는



예 의해서 $\text{MgCO}_3 \cdot 3\text{H}_2\text{O}$ 가 용해되어 $\text{Mg(HCO}_3)_2$ 가 생성되는 점이며 주된 조성은 $\text{MgCO}_3 \cdot 3\text{H}_2\text{O}$, $\text{Mg(HCO}_3)_2$ 이며 Mg(OH)_2 , $\text{MgHCO}_3 \cdot \text{OH}$ 는 무시 가능하다. 그러므로 d~e의 반응을 나타내는 $[\text{H}^+]$ 는,

equilibria ;

$$[\text{H}^+] [\text{CO}_3^{=2-}] = \text{K}_2 [\text{HCO}_3^-] \quad (\text{IV-5})$$

$$[\text{H}^+] [\text{HCO}_3^-] = \text{K}_3 [\text{CO}_2] \quad (\text{IV-6})$$

mass balance;

$$[\text{CO}_3^{=2-}]_{\text{solid}} = [\text{Mg}^{++} \text{ total}] - [\text{Mg}^{++} \text{ soln'}]$$

$$= \text{Mg-s} \quad (\text{IV-7})$$

$$\text{식 (IV-5), 로 부터 } [\text{HCO}_3^-] = \frac{[\text{H}^+] [\text{CO}_3^{=2-}]}{\text{K}_2} \quad (\text{IV-5}')$$

식 (IV-5')를 식 (IV-6)에 대입하여 풀면

$$[\text{H}^+] = \sqrt{\frac{\text{K}_2 \cdot \text{K}_3 \cdot [\text{CO}_2]}{[\text{CO}_3^{=2-}]}} \quad (\text{IV-8})$$

식 (IV-7)을 식 (IV-8)에 대입하여 풀면

$$[\text{H}^+] = \sqrt{\frac{\text{K}_2 \cdot \text{K}_3 \cdot \text{Cs}}{(\text{Mg-s})}} \dots \text{(IV)}$$

단 ; $\text{Mg} \neq \text{S}$, $\text{Cs} = [\text{CO}_2] \text{ in Soln'}$

Table 3. Compared the observed pH Value with the calculated pH Value in $Mg(OH)_2$ Suspension during the Carbonation

$[CO_2 t.]$ $[Mg^{++} t.]$	Predominant species	$[H^+]$ Calculated Equ.	Predominant Reaction Equ.	time (min.)	pH		Error (%)	
					Obs.	Calc.		
X=0	pure $Mg(OH)_2$	$[H^+] = \frac{K_w}{3\sqrt{2 \cdot K_{sp}}}$	$Mg(OH)_2 \rightleftharpoons Mg^{++} + 2OH^-$	0	10.70	10.46	+2.29	$K_{sp}, Mg(OH)_2$ at $18^\circ C, 1.2 \times 10^{-11}$ (11)
$0 < X < 1$	$Mg(OH)_2$ $MgHCO_3 \cdot OH$	$[H^+] = \frac{K_2}{(S/C_t - K_4 S)}$	$OH^- - CO_2 \rightleftharpoons HCO_3^-$ $..... K_3/K_w$ $OH^- + HCO_3^- \rightleftharpoons CO_3^- + H_2O$ $..... K_2/K_w$ $Mg^{++} + HCO_3^- \rightleftharpoons MgHCO_3^+$ $..... K_4$ $MgHCO_3^+ + OH^- \rightleftharpoons MgHCO_3 \cdot OH$	30	9.85	9.95	-1.02	$Mg(HCO_3)_2$ neglect.
				50	9.46	9.80	-3.59	$K_2 : 5.6 \times 10^{-11}$ (14. $K_3 : 4.4 \times 10^{-7}$ (14.
				80	9.28	9.67	-4.20	$K_4 : 1.0 \times 10^1$ (14. $C_t : [CO_2 t.]$
X=1	$Mg(OH)_2$ $MgHCO_3 \cdot OH$ $MgCO_3 \cdot 3H_2O$ $Mg(HCO_3)_2$		$CO_3^- + Mg^{++} + 3H_2O \rightleftharpoons MgCO_3 \cdot 3H_2O$ $MgHCO_3 \cdot OH + 2H_2O \rightleftharpoons MgCO_3 \cdot 3H_2O$	100	9.10	8.23	+10.57	
				110	8.95	8.19	+9.28	
$1 < X < 2$	$MgCO_3 \cdot 3H_2O$ $Mg(HCO_3)_2$	$[H^+] = \sqrt{\frac{K_2 \cdot K_3 \cdot Cs}{(Mg-S)}}$	$MgCO_3 \cdot 3H_2O \rightleftharpoons Mg^{++} + CO_3^- + 3H_2O$ $..... K$ $CO_3^- + CO_2 + H_2O \rightleftharpoons 2HCO_3^-$	120	8.50	8.10	+4.94	$MgHCO_3 \cdot OH$ neglect $K : 5.6 \times 10^{-5}$ (14. $Mg : [Mg^{++}]$ total $S : [Mg^{++}]$ in soln' $Cs : [CO_2]$ in soln'
				140	8.02	8.00	+0.25	
X=2	pure $Mg(HCO_3)_2$	$[H^+] = \frac{2K_2 \cdot C^2}{K_{sp}}$	$Mg^{++} + 2HCO_3^- \rightleftharpoons Mg(HCO_3)_2$		(7.55)	7.52	+0.40	$K_{sp}, MgCO_3, 4.0 \times 10^{-5}$ $C = [Mg(HCO_3)_2]$

Table 4. Compared the observed pH Value with the calculated pH Value in $MgCO_3 \cdot 3H_2O$ Suspension during the Carbonation

$[CO_2 t.]$ $[Mg^{++} t.]$	Predominant species	$[H^+]$ Calculated Equ.	Predominant Reaction Equ.	time (min.)	pH		Error (%)	
					Obs.	Calc.		
X=1	$MgCO_3 \cdot 3H_2O$	$[H^+] = \frac{Kw + \sqrt{Kw^2 + 4Kw \cdot K_2 \cdot C_1}}{2 \cdot \sqrt{K \cdot C_1}}$	$MgCO_3 \cdot 3H_2O \rightleftharpoons Mg^{++} + CO_3^- + 3H_2O$ $CO_3^- + H_2O \rightleftharpoons HCO_3^- + OH^-$	0	10.75	10.752	-0.02	hydrolysis of $MgCO_3 \cdot 3H_2O$ $C_1 : [MgCO_3 \cdot 3H_2O]$
				30	8.73	8.27	+5.56	
				50	8.35	8.03	+3.98	neglect the hydrolysis of $MgCO_3 \cdot 3H_2O$
				80	7.81	7.67	+1.82	$K : 5.6 \times 10^{-5}$
				100	7.45	7.44	+0.13	$K_2 : 4.4 \times 10^{-7}$
				120	7.28	7.16	+1.68	$K_3 : 5.6 \times 10^{-11}$
				140	7.25	7.11	+1.97	$Cs : [CO_2]$ in soln' $Mg : (Mg^{++})$ total $S : [Mg^{++}]$ in soln'

(V) $X=2$

equilibria;

$$[Mg^{++}] [CO_3^-] = K_{sp} \quad (V-1)$$

$$(H^+) [CO_3^-] = K_2 [HCO_3^-] \quad (V-2)$$

$$(H^+) [HCO_3^-] = K_3 [CO_2] \quad (V-3)$$

반응이 완결된 점으로서 $Mg(HCO_3)_2$ 용액 단을 고려 하면 된다. $[H^+]$ 는

mass balance;

$$[\text{Mg}^{++}] = C, [\text{HCO}_3^-] = 2C \quad (\text{V}-4)$$

식 (V-2), (V-3)을 식 (V-1)에 대입하여 풀면

$$[\text{Mg}^{++}] [\text{HCO}_3^-]^2 = \frac{K_{\text{sp}} \cdot K_2 [\text{CO}_3]}{K^2} \quad (\text{V}-5)$$

식 (V-4), (V-5)을 식 (V-3)에 대입하여 풀면

$$[\text{H}^+] = \frac{2 \cdot K_2 \cdot C^2}{K_{\text{sp}} \cdot \text{MgCO}_3} \quad (\text{V})$$

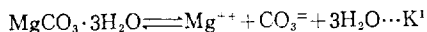
단; $\text{K}_{\text{sp}} \cdot \text{MgCO}_3 = 4.0 \times 10^{-5}$

$$C = [\text{Mg}(\text{HCO}_3)_2]$$

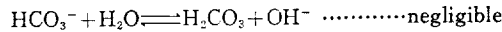
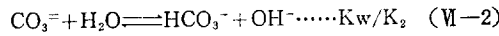
6. $\text{MgCO}_3 \cdot 3\text{H}_2\text{O}$ 혼탁액에 의한 탄산화 반응기구

(VI) $X=1$

$\text{MgCO}_3 \cdot 3\text{H}_2\text{O}$ 혼탁액의 가수분해에 의해서 $[\text{H}^+]$ 는 결정된다. 즉



$$(\text{VI}-1)$$



식 (VI-1)에서

$$[\text{CO}_3^-] = \sqrt{K \cdot C_1}, \text{ 단; } C_1 = [\text{MgCO}_3 \cdot 3\text{H}_2\text{O}]$$

식 (VI-1), (VI-2)의 평형상태에서

$$[\text{CO}_3^-] = \sqrt{K \cdot C_1 - [\text{OH}^-]}, [\text{OH}^-] = [\text{HCO}_3^-] \quad (\text{VI}-3)$$

식 (VI-3)을 식 (VI-2)에 대입하여 풀면

$$[\text{OH}^-] = \frac{-\text{Kw}/K_2 + \sqrt{(\text{Kw}/K_2)^2 + \text{Kw}/K_2 \sqrt{K \cdot C_1}}}{2}$$

$$\therefore [\text{H}^+] = \frac{\text{Kw} + \sqrt{\text{Kw}^2 + 4\text{Kw} \cdot K_2 \sqrt{K \cdot C_1}}}{2 \cdot \sqrt{K \cdot C_1}} \quad (\text{VI})$$

(VII) $1 < X < 2$

Mg(OH)_2 혼탁액에 의한 CO_2 흡수기구에서의 식 (VII)와 같이 $[\text{H}^+]$ 가 계산된다.

혼탁액의 탄산화하는 시간에 따라 측정된 pH와 이 상과 같은 방법으로 계산된 pH를 비교한 것이 Table 3 및 Table 4이다.

Table 3, Table 4에서 (+)의 오차는 측정된 pH를 기준으로하여 계산식에 의한 pH가 더욱 산성일 때를 나타내고 알카리성일 때는 (-)로 표시하였다. Table 3에서 $0 < X < 1$ 인 경우 시간이 증가함에 따라서 오차도 증가되었는데 이것은 시간에 따라 생성되는

$\text{Mg}(\text{HCO}_3)_2$ 를 무시하고 $[\text{H}^+]$ 식을 유도하였으므로 이러한 (-)의 오차를 나타낸 것이다. $1 < X < 2$ 인 경우 초기에 큰 (+)의 오차를 나타내는 것은 존재하는 $\text{MgHCO}_3 \cdot \text{OH}$ 를 무시하였기 때문이다.

Table 4에서 초기에 (+)의 오차를 나타낸 것은 $\text{MgCO}_3 \cdot 3\text{H}_2\text{O}$ 의 가수분해에 의한 가수분해 생성물은 무시하고 식이 유도 되었으므로 나타난 오차이며 종말점에 가까이 갈수록 오차는 감소하게 된다.

이상과 같은 오차를 없애기 위해서는

1) 혼탁액중의 모든 Species의 농도함을 무시하지 않고 전부 도입하여 $[\text{H}^+]$ 식을 유도해야 한다. 그러기 위해서는 혼탁액중의 모든 조성이 혼합물중에서 분리 정량이 가능해야 한다.

2) 평형식을 쓸 때 농도항만을 사용하였는데 Activity Coefficient 항을 고려해야 한다. 1), 2)의 조건을 갖추면 더욱 적은 오차로서 반응기구를 추구할 수 있을 것이나 혼란계에서는 1), 2)의 값을 측정할 수 없으므로 $\pm 5\%$ 이내의 오차로서 $[\text{H}^+]$ 식을 유도하여 반응기구를 추구하였다.

7. 돌라임점에 의한 CO_2 의 출수

수화온도를 $20, 40, 80 \pm 2^\circ\text{C}$ 로 변화시켜 0.1Mol/liter 의 돌라임점을 조제하여 $20 \pm 0.01^\circ\text{C}$, 33ml/min. 의 CO_2 유효으로 탄산화하여 시간에 따른 용액중의 $[\text{Ca}^{++}]$ 와 $[\text{Mg}^{++}]$ 을 표시한 것이 Fig. 8이다.

Fig. 8에서 보는 바와 같이 수화온도 변화에 대한 돌라임점의 CO_2 흡수는 거의 영향을 받지 않으며 반응

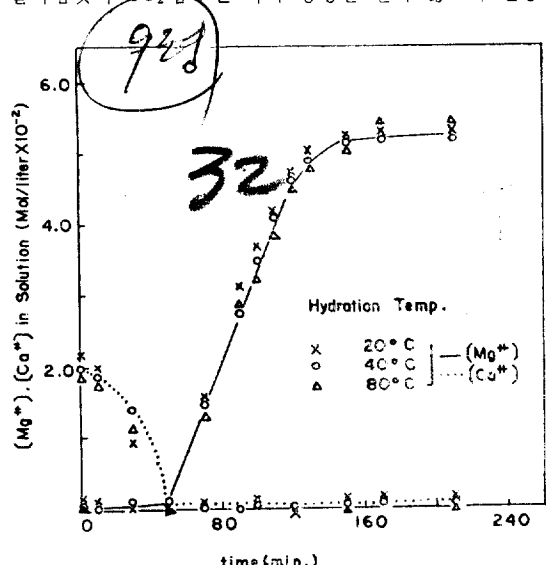


Fig. 8 Carbonation of Dolime Water with CO_2 flow rate 33ml/min. at $20 \pm 0.01^\circ\text{C}$

초기에는 $\text{Ca}(\text{OH})_2$ 의 용해도에 해당되는 Ca 이 CO_2 를 흡수함에 따라 먼저 CaCO_3 로 석출된다. 이때부터 Mg 만이 $\text{Mg}(\text{HCO}_3)_2$ 용액을 형성하여 용액중의 Mg 은 시간에 따라 계속 증가하여 돌라임젖중의 Mg 은 완전히 $\text{Mg}(\text{HCO}_3)_2$ 로 된다. 그러므로 이상과 같은 실험조건에서는 돌라임젖을 탄산가스로 탄산화 하므로서 Mg 및 Ca 을 $\text{Mg}(\text{HCO}_3)_2$ 와 CaCO_3 상태로 분리 가능하다.

결 론

1. $\text{Mg}(\text{OH})_2$, $\text{MgCO}_3 \cdot 3\text{H}_2\text{O}$, Calcined Dolomite의 혼탁액에 CO_2 를 흡수시키므로서 $\text{Mg}(\text{HCO}_3)_2$ 용액을 만든다.

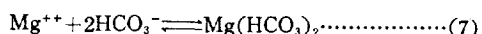
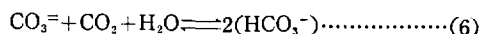
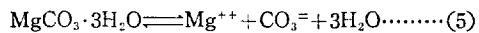
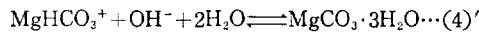
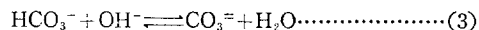
2. $\text{Mg}(\text{HCO}_3)_2$ 의 Metastable Solution(준 안정용액)은 $\text{MgCO}_3 \cdot 3\text{H}_2\text{O}$ 에서는 형성되지 않으나 $\text{Mg}(\text{OH})_2$ 혼탁액, 즉 OH^- 이 존재하는 용액에서만 형성된다.

3. Metastable Solution은 $20\sim50^\circ\text{C}$ 에서 $[\text{OH}^-]$ 가 0.1 Mol/liter 이상, CO_2 유속이 33 ml/min . 이하 일 때 형성 가능하다.

4. Metastable solution의 평형은 액—고상의 접촉면에서 주상결정인 $\text{MgCO}_3 \cdot 3\text{H}_2\text{O}$ 가 석출하므로서 깨어진다.

5. Mg 혼탁액에 의한 CO_2 흡수는 온도는 반응기구에 영향을 미치지 않으며, 다만 흡수속도에만 약간의 영향을 미친다.

6. $\text{Mg}(\text{OH})_2$ 혼탁액에 의한 CO_2 흡수에 있어서 준 안정용액을 형성하는 경우의 흡수기구는 다음과 같다.



7. $\text{MgCO}_3 \cdot 3\text{H}_2\text{O}$ 혼탁액의 CO_2 흡수는 상기반응의 (5) (6) (7)과 같다. 즉 흡수과정에서 탄산염은 곧 중탄산용액을 만든다.

8. 돌라임젖의 CO_2 흡수는 돌라임젖 제조시의 수화온도(실험온도 범위)에는 무관하여 CO_2 를 상암에서 흡수시키므로서 돌라임젖중의 Mg 과 Ca 을 $\text{Mg}(\text{HCO}_3)_2$ 용액 및 CaCO_3 로서 분리 가능하다.

본 연구는 1970년도 문교부 학술연구 조성비로 수행되었으며 관계당국에 사의를 표한다.

References

- Haslam, Hershey and Keen, *J. Ind. Eng. Chem.*, **16**, 1224(1924).
- Whitman and Davis, *Ibid.*, **16**, 1233 (1924).
- Whitman, Long and Wang, *Ibid.*, **18**, 363(1926).
- Yada Shirochi, *Kogyo Kagaku Zasshi*, **35**, 1389—1396(1937).
- Yoshikazu Horiguchi and Tetsuzo Atoda, *J. Sci. Research Inst.*, Tokyo, **45**, 144—53 (1951).
- Ibid.*, **45**, 193—8 (1951).
- Ibid.*, **47**, 46—50(1953).
- Ibid.*, **47**, 99—110(1953).
- Ibid.*, **47**, 176—182(1953).
- Ibid.*, **47**, 301—318(1953).
- J. W. Mellor, A Comprehensive Treatise on Inorganic and Theoretical Chemistry, Vol. IV. p. 362, Long Green and co., (1923).
- F. P. Treadwell, Analytical Chemistry, Vol. II, Quantitative Analysis, p. 345, John Wiley and Sons (1935).
- Robert L. Evans and Hillary W. St. Clair, *J. Ind. Eng. Chem.*, **41**, 2814—17 (1949).
- J. N. Butler, Ionic Equilibrium A Mathematical Approach, p. 250, Addison-Wesley (1964).